

Sur les transformations de contact au-dessus des surfaces

Emmanuel Giroux

17 septembre 2018

La géométrie de contact, née des travaux de C. Jacobi et de S. Lie sur les équations différentielles et leurs symétries, a été la géométrie des transformations de contact avant d'être celle des structures de contact. On s'intéresse ici, dans un cas simple, à la topologie du groupe que ces transformations composent.

Soit S une surface et $\pi : V \rightarrow S$ le fibré des droites coorientées tangentes à S , traditionnellement nommé aussi fibré des éléments de contact coorientés au-dessus de S . Le champ de plans tautologique ξ_S de π sur V par

$$\xi_S(q; \cdot) = D(q; \cdot)^{\perp}(\cdot); \quad \text{ou } q \in S \text{ et } \cdot \in T_q S,$$

est l'archétype des structures de contact. Ce champ est en outre canoniquement coorienté (puisque les éléments de contact le sont) et on appelle transformation de contact au-dessus de S tout difféomorphisme de V qui préserve ξ_S ainsi que sa coorientation. Ces transformations engendrent un groupe $D(V; \xi_S)$ dans lequel le groupe $D(S)$ des difféomorphismes de S se plonge naturellement : tout difféomorphisme de S se relève à V en une transformation de contact. De même, le groupe $D(V; \partial V; \xi_S)$ des transformations de contact relatives au bord (i.e. égales à l'identité sur ∂V) contient le groupe $D(S; \partial S)$ des difféomorphismes de S relatifs au bord ou, plus exactement, tangents à l'identité le long du bord. Ces groupes et les autres espaces fonctionnels qui interviennent plus loin sont munis de la topologie de la convergence uniforme C^1 sur les parties compactes. Le but principal de cet article est d'établir le résultat suivant :

Theorem 1. Soit S une surface compacte, connexe, orientable et qui n'est ni une sphère ni un tore. Les plongements naturels

$$\begin{aligned} D(S; \partial S) &\rightarrow D(V; \partial V; \xi_S); \\ D(S) &\rightarrow D(V; \xi_S) \\ \text{et } D(\text{Int} S) &\rightarrow D(\text{Int} V; \xi_S) \end{aligned}$$

sont des 0-équivalences d'homotopie et, plus précisément, mettent en bijection les composantes connexes de la source et du but.

En fait, les plongements ci-dessus sont très probablement des équivalences d'homotopie. Au prix de complications surtout techniques, la méthode suivie ci-après semble d'ailleurs applicable aux familles (de difféomorphismes, de plongements, de structures de contact) dépendant d'un nombre quelconque de paramètres.

Centre National de la Recherche Scientifique (UMR 5669).

Dans ce theoreme, l'injectivite des applications induites au niveau des composantes connexes est evidente. Des arguments topologiques simples montrent en outre que les plongements

$$\begin{aligned} D(S; @S) & \rightarrow D(V; @V); \\ D(S) & \rightarrow D(V) \\ \text{et } D(\text{Int}S) & \rightarrow D(\text{Int}V) \end{aligned}$$

induisent eux-mêmes des injections. La surjectivite, en revanche, n'était apparemment pas connue (par exemple pour le disque \mathbb{A}^1) et implique le resultat suivant :

Corollaire 2. Soit S une surface compacte, connexe, orientable et qui n'est ni une sphere ni un tore. Les plongements naturels

$$\begin{aligned} D(V; @V; s) & \rightarrow D(V; @V); \\ D(V; s) & \rightarrow D(V) \\ \text{et } D(\text{Int}V; s) & \rightarrow D(\text{Int}V) \end{aligned}$$

appliquent injectivement les composantes connexes de la source dans celles du but.

Pour compléter le tableau, on décrit ci-dessous ce qu'il advient lorsque S est une sphere ou un tore. Theoreme 3. Le groupe des transformations de contact au-dessus de la sphere est connexe.

A titre de test, on remarque que le flot geodesique de la sphere entre les instants 0 et π mene de l'identité a la différentielle de l'application antipodale par un chemin de transformations de contact.

Lorsque S est un tore, la variete de contact $(V; s)$ s'identifie au tore T^3 muni de sa structure de contact canonique, dont une equation de Pfaff est par exemple

$$\cos x dx + \sin y dy = 0; \quad (x; y; z) \in \mathbb{R}^2 \times \mathbb{Z}^2 \quad R = 2Z :$$

Theoreme 4. Soit Γ le sous-groupe de $SL_3(\mathbb{Z})$ constitue des transformations qui laissent invariant $\mathbb{Z}^2 \times \{0\}$ de \mathbb{Z}^3 . Le morphisme

$$\rho_D(T^3; \Gamma) \rightarrow SL_3(\mathbb{Z})$$

fourni par l'action sur l'homologie est injectif et a pour image Γ .

Remarque. Les difféomorphismes de V qui preservent s mais pas sa coorientation forment, modulo l'action des isotopies de contact, un groupe isomorphe au produit direct de $\mathbb{Z} = 2\mathbb{Z}$ par $\rho_D(V; s)$ (respectivement par $\rho_D(V; @V; s)$ ou par $\rho_D(\text{Int}V; s)$ si on considere les difféomorphismes relatifs au bord ou les difféomorphismes de l'interieur. Le generateur du facteur $\mathbb{Z} = 2\mathbb{Z}$ correspond a l'application antipodale sur les bords de V .

Remerciements. L'étude presentee ici a pour point de depart des conversations avec Vladimir Arnold (en mars 1994 a Paris) et avec Ana Cannas da Silva (en juillet 1997 a Park City). Par la suite, lors d'une premiere approche du probleme basee sur l'examen des nœuds legendriens, j'ai eu plusieurs discussions utiles avec Maia Fraser. Je les remercie tous les trois. Je remercie aussi Leonid Polterovich pour m'avoir fait part de son travail recent [Po] ou le theoreme 1 trouve un echo.

A . Plongements et difféomorphismes de contact

Avant de demontrer les theoremes principaux, on fait quelques observations generales sur la topologie des groupes $D(V; @V; s)$ et $D(V; s)$ pour une variete de contact $(V; s)$ quelconque de dimension 3. Ces

remarques s'inscrivent dans le même esprit que la stratégie proposée par K. Honda dans [Ho] pour analyser les structures de contact tendues sur les variétés suffisamment grandes. Par convention, les structures de contact considérées ci-après sont toujours orientées et les diffeomorphismes de contact préservent cette orientation.

On rappelle que toute surface F plongée dans $(V; \eta)$ hérite d'un feuilletage caractéristique, noté \mathcal{F} , qui est engendré par le champ de droites singulier $\mathcal{F} \setminus TF$. Dans la suite, \mathcal{F} et F sont orientées de sorte que \mathcal{F} l'est aussi. Concrètement, si $\omega = \ker \alpha$ et si α est une forme d'aire sur F , le feuilletage \mathcal{F} est défini par le champ de vecteurs Y dont le produit intérieur avec α vaut la 1-forme induite par α sur F . Une singularité de \mathcal{F} est un point de contact entre \mathcal{F} et F et a donc un signe : elle est positive ou négative selon que les orientations de \mathcal{F} et F coïncident ou non. Ce signe est aussi celui de la divergence de Y .

Sur une variété de contact $(V; \eta)$, la projection $TV \rightarrow TV/\eta$ induit un homomorphisme entre les champs de vecteurs sur V qui préservent η et les sections du fibre quotient $TV/\eta \rightarrow V$. Autrement dit, si \mathcal{K} est le noyau d'une 1-forme α et si v est une fonction quelconque $V \rightarrow \mathbb{R}$, il y a un unique champ de vecteurs $r = vY$ qui préserve \mathcal{K} et vérifie $(r, v) = v$. La flexibilité des isotopies de contact qui en résulte fait que, comme en topologie différentielle, le groupe $D(V; \eta; \mathcal{K})$ participe à des déformations naturelles qui peuvent aider à comprendre son type d'homotopie. Par exemple, si $F \subset V$ est une surface close et si $P(F; V; \eta)$ désigne l'espace des plongements de F dans V qui induisent sur F le même feuilletage caractéristique que l'inclusion, la restriction à F détermine une déformation

$$D(V; \eta; \mathcal{K}) \rightarrow P(F; V; \eta):$$

D'autre part, en raison de la stabilité des structures de contact, le groupe $D(V; \eta; \mathcal{K})$ possède, dans $D(V; \eta)$, un voisinage qui se rétracte sur lui. La théorie des surfaces convexes (dont on rappelle ci-dessous quelques points utiles) fournit de même, pour $P(F; V; \eta)$, un équivalent homotopique plus maniable (lemme 7).

Soit F une surface compacte, orientée, proprement plongée dans $(V; \eta)$ et à bord vide ou légendrien¹. On dit que F est convexe si elle a un voisinage produit

$$U = F \times \mathbb{R} \times F = F \times \mathbb{R} \times f_0g; \text{ avec } \mathcal{K}_U = \mathcal{K}_F \times \mathcal{K}_V;$$

dans lequel l'action de \mathbb{R} par translations (action engendrée par le champ de vecteurs $\partial_t, t \in \mathbb{R}$) préserve \mathcal{K} . Un tel voisinage U est dit homogène.

Une surface convexe possède non seulement un voisinage homogène mais tout un système fondamental. En effet, si \mathcal{K} est la section de TV/η associée au champ de vecteurs \mathcal{K} dans un voisinage homogène $U = F \times \mathbb{R} \times F$, le fait que \mathcal{K} soit légendrien assure que le champ de vecteurs associé à toute section du type f , ou f est une fonction qui ne dépend que de t , reste tangent à \mathcal{K} . Cela résulte, pour $\mathcal{K} = \ker \alpha$ et $v = v(t)$, de la formule

$$r = (fv)Y_f - fr = vY_f \quad (*)$$

où Y_f est le champ de vecteurs légendrien dual de df .

La convexité est une propriété très facile à déceler. Une première condition nécessaire est que chaque composante L de \mathcal{K} possède, sur \mathcal{K} , un "voisinage homogène"; on appelle ainsi, par extension, un voisinage annulaire

$$L \times \mathbb{R} \times L = L \times \mathbb{R} \times f_0g$$

dans lequel F est \mathbb{R} -invariant (figure 1). Dans ce voisinage, F est dirigé par un champ de vecteurs indépendant de $t \in \mathbb{R}$ et plus précisément du type $\cos(n) \partial_t$, où $\partial_t \in S^1$ paramètre L et n est un entier.

¹Une courbe légendrienne est une courbe intégrale de \mathcal{K} .

Lorsque le bord de V est lui-même convexe (ce qu'on supposera ensuite), un tel voisinage de L ne peut exister que si n n'est pas nul, i.e. si $\int \omega$ fait un nombre non nul de tours autour de ∂V le long de L dans le sens des aiguilles d'une montre. On décrit maintenant les propriétés du feuilletage caractéristique \mathcal{F} liées à la convexité.

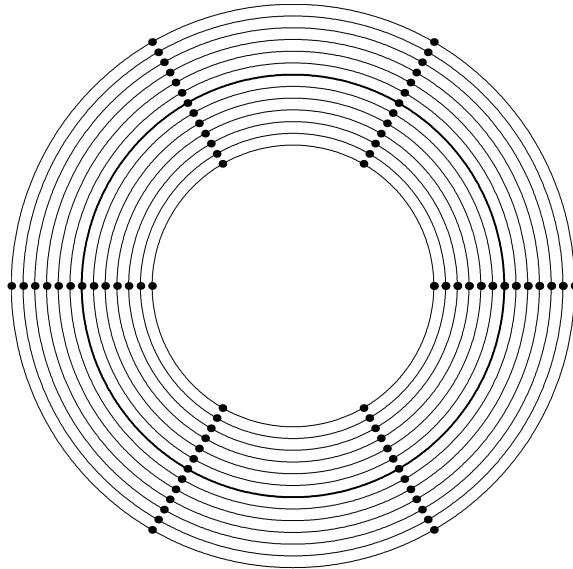


Fig. 1: Voisinage homogène d'une courbe legendrienne L sur ∂V : dans cet exemple, l'entier n vaut 3.

On considère sur F un feuilletage singulier \mathcal{F} (ensemble des courbes intégrales orientées d'un champ de vecteurs) et une multi-courbe γ (union finie de courbes fermées, simples et disjointes). On dit que γ scinde F si γ est transversal à \mathcal{F} et est portée par un champ de vecteurs qui, sur chaque composante de $F \setminus \gamma$, ou bien dilate l'aire et sort le long de γ , ou bien contracte l'aire et rentre le long de γ . Une telle courbe, si elle existe et si \mathcal{F} est tangent à ∂F , est unique à isotopie près parmi les courbes qui scindent.

Les deux lemmes qui suivent sont démontrés dans [Gil] pour les surfaces closes; une fois les définitions posées, les démonstrations s'étendent sans difficulté au cas des surfaces à bord legendrien.

Lemme 5. Soit F une surface compacte, orientée, proprement plongée dans $(V; \omega)$ et à bord legendrien. Pour que F soit convexe, il faut et il suffit que ∂F possède un voisinage homogène sur ∂V et que F soit scindée par une multi-courbe. De plus, cette seconde condition est remplie dès que les propriétés suivantes sont satisfaites :

- { chaque demi-orbite de \mathcal{F} a pour ensemble limite une singularité ou une orbite fermée ;
- { les orbites fermées de \mathcal{F} sont toutes non dégénérées (i.e. hyperboliques) ;
- { aucune orbite de \mathcal{F} ne va d'une singularité négative à une singularité positive.

Comme on l'explique dans [Gil], cette caractérisation montre que, si le bord de F est legendrien et possède un voisinage homogène sur ∂V , on peut rendre F convexe par une isotopie relative au bord et arbitrairement petite. Par ailleurs, quand F est convexe, le choix d'un voisinage homogène $U = F \cap R$ détermine une multi-courbe γ_U qui scinde F : c'est l'ensemble des points de F où le vecteur $\omega|_F$, $t \in \mathbb{R}$, appartient au plan \mathbb{R}^2 . Parmi toutes les multi-courbes qui scindent F , celles qui sont ainsi associées aux voisinages homogènes de F ont la particularité d'aboutir aux points de contact entre ∂F et ∂V .

Lemme 6. Soit $F(V; \cdot)$ une surface convexe, soit U un voisinage homogene de F et soit $\cup F$ la multi-courbe associee a U .

- a) L'espace $P(F; \cdot)$ des feuilletages singuliers de F qui sont scindes par \cup et tangents a ∂F est contractile.
 b) Soit $P(F; V)$ l'espace des plongements de F dans V qui coïncident avec l'inclusion sur ∂F . Il existe une application continue

$$P(F; \cup) \rightarrow P(F; V)$$

ayant les proprietes suivantes :

- { \cup_F est l'inclusion ;
- { pour tout γ , la surface (F) est incluse dans $U = F \cup R$ et transversale au champ de vecteurs $\partial_t, t \in \mathbb{R}$;
- { pour tout γ , le feuilletage caracteristique de (F) n'est autre que γ .

Sous les hypotheses du lemme ci-dessus et avec ses notations, on dira qu'un plongement quelconque $\gamma \in P(F; V)$ est adapte a \cup si le feuilletage caracteristique de (F) est scinde par (\cup) .

Lemme 7. Soit $F(V; \cdot)$ une surface convexe, la multi-courbe sur F associee a un voisinage homogene quelconque, $P(F; V; \cdot)$ l'espace des plongements de F dans V adaptes a \cup et $P(F; V; \cdot)$ le sous-espace de ceux qui induisent le m em e feuilletage caracteristique que l'inclusion. Le plongement canonique de $P(F; V; \cdot)$ dans $P(F; V; \cdot)$ est une equivalence d'homotopie.

Demonstration. Vu le lemme 6, il suffit d'associer continum ent, a tout plongement $\gamma \in P(F; V; \cdot)$, un champ de vecteurs de contact $X(\gamma)$ sur $(V; \cdot)$ dont le flot soit transversal a (F) et plonge $(F) \cup R$ dans V en envoyant $\partial(F) \cup R$ dans ∂V . On fixe une metrique riemannienne et on choisit une fonction continue positive $d(\gamma)$ telle que, pour tout $\gamma \in P(F; V; \cdot)$, le $d(\gamma)$ -voisinage de (F) soit un tube. On note $X(\gamma), \gamma \in P(F; V; \cdot)$, l'espace des champs de vecteurs de contact transversaux a (F) , tangents a ∂V et dont le support est contenu a l'interieur du $d(\gamma)$ -voisinage de (F) . Ainsi, le flot de tout champ $X \in X(\gamma)$ plonge $(F) \cup R$ dans V et envoie $\partial(F) \cup R$ dans ∂V . On peut alors prelever continum ent un champ $X(\gamma)$ dans $X(\gamma)$ pour les raisons suivantes :

- { chaque espace $X(\gamma)$ est contractile { et non vide ;
- { tout champ $X \in X(\gamma)$ appartient aussi a $X(\gamma^0)$ pour γ^0 assez proche de γ .

□

Les considerations ci-devant suggerent qu'il est plus commode d'etudier la topologie de l'espace $P(F; V; \cdot)$ { et ainsi du groupe $D(V; \partial V; \cdot)$ { lorsque F est une surface convexe. Par ailleurs, cette propriete est generiquement satisfaite pour peu que F soit close ou que ∂F soit une courbe legendrienne et possede un voisinage homogene sur ∂V . Cette condition n'est bien sur pas toujours remplie : il se peut m em e que ∂F ne soit isotope a aucune courbe legendrienne sur ∂V . Cependant la convexite { cette fois de ∂V { permet de contourner ce probleme.

On suppose desormais que $(V; \cdot)$ est une variete de contact dont le bord est convexe ; comme ∂V n'a pas de bord, cette hypothese n'est guere restrictive. On choisit un voisinage collier homogene

$$W = \partial V \times [0; 1] \cup \partial V \times \{0\}$$

et on note la multi-courbe associee sur ∂V . On considere alors l'espace $SC(V; \cdot)$ des structures de contact sur V pour lesquelles ∂V est convexe et a un feuilletage caracteristique scinde par \cup . Le point

est que la composante connexe de \mathcal{C} dans $SC(V; \xi)$ contient une structure de contact pour laquelle \mathcal{C} est isotope à une courbe legendrienne ayant un voisinage homotopiquement trivial sur \mathcal{C} . C'est ce que garantit le lemme 6 : en effet, si $\mathcal{C} \subset \mathcal{C}$ est une courbe isotope à \mathcal{C} dont chaque composante rencontre \mathcal{C} , il existe sur \mathcal{C} un feuilletage singulier scinde par \mathcal{C} et qui, sur un voisinage $C \times \mathbb{R}$ de $C = C \cap \mathcal{C}$, est tangent aux courbes $C \times \{t\}$, $t \in \mathbb{R}$ (voir [Gil, exemple II.3.7] pour plus de détails). Ce fait est complété par le résultat suivant :

Proposition 8. Le type d'homotopie du groupe $D(V; \mathcal{C}; \xi)$ ne dépend que de la composante connexe de $SC(V; \xi)$ qui contient \mathcal{C} .

La démonstration utilise les notations et le lemme ci-dessous. Pour toute fonction $d: \mathcal{C} \rightarrow]0; 1[$, on pose

$$W^d = \{(p; t) \in W \mid p \in \mathcal{C}, t \in]0; 1[\text{ et } d(p) = t\}.$$

On désigne de plus par $P(W^d; V; \xi)$ l'espace des plongements de contact de $(W^d; \xi)$ dans $(V; \xi)$ dont la restriction à \mathcal{C} est l'inclusion.

Lemme 9. Quelle que soit la fonction $d: \mathcal{C} \rightarrow]0; 1[$, l'espace $P(W^d; V; \xi)$ est contractile.

Démonstration. Pour tout plongement $\gamma \in P(W^d; V; \xi)$, le champ de vecteurs $\mathcal{C} \times \{t\}$ (où t est la coordonnée dans $]0; 1[$) se prolonge à V en un champ de vecteurs $X(\cdot)$ qui préserve ξ et varie continûment avec t . On considère alors les champs de vecteurs de contact

$$X_s = (1-s)X(\cdot_0) + sX(\cdot); \quad s \in]0; 1[$$

où γ_0 désigne l'inclusion $W^d \hookrightarrow V$. L'intégration du champ X_s à partir de chaque point $p \in \mathcal{C}$ pendant un temps $d(p)$ fournit un plongement γ_s de W^d dans V . Mieux, γ_s est un plongement de contact de $(W^d; \xi)$ dans $(V; \xi)$. En effet, comme X_s préserve ξ et induit l'identité sur \mathcal{C} , les sections de $TV = \text{dénies}$ par $X(\cdot)$ et $X(\cdot_0)$ coïncident en tout point de \mathcal{C} où le plan $\mathcal{C} \times \{t\}$ est transversal à \mathcal{C} , donc sur un ouvert dense de \mathcal{C} . Il en résulte que les champs X_s induisent tous la même section de $TV = \text{le long de } \mathcal{C}$, ce qui implique la propriété voulue. Les plongements γ_s forment ainsi un chemin canonique joignant γ_0 à γ_1 dans $P(W^d; V; \xi)$. \square

Démonstration de la proposition 8. Pour toute fonction positive d sur \mathcal{C} , la restriction à W^d de notre application

$$D(V; \mathcal{C}; \xi) \rightarrow P(W^d; V; \xi)$$

qui, vu les critères généraux de J. Cerf [Ce] et la stabilité des isotopies de contact, est une déformation localement triviale. D'après le lemme 9, le groupe $D(V; \mathcal{C}; \xi)$ se rétracte donc sur son sous-groupe $D(V; W^d; \xi)$ formé des difféomorphismes qui valent l'identité sur W^d .

Soit maintenant γ_s , $s \in]0; 1[$, un chemin dans $SC(V; \xi)$ partant du point $\gamma_0 = \text{}$. Le lemme 6 et la méthode de J. Moser fournissent un plongement de contact γ_1 de $(V; \xi_1)$ dans $(V; \xi)$ qui envoie \mathcal{C} dans W sur une surface transversale au champ de vecteurs \mathcal{C}_t . Autrement dit, $(\mathcal{C}; \xi)$ est, dans $W = F \times]0; 1[$, le graphe d'une fonction $d: \mathcal{C} \rightarrow]0; 1[$. D'autre part, l'ouvert $W_1 = \text{}$ (W) est un voisinage collier homotopiquement trivial de \mathcal{C} dans $(V; \xi_1)$. De plus, pour toute fonction $e: \mathcal{C} \rightarrow]0; 1[$,

$$W_1^e = (W_1)^e = \text{}$$

Par conséquent, les groupes $D(V; \mathcal{C}; \xi)$ et $D(V; \mathcal{C}; \xi_1)$ se rétractent respectivement sur les sous-groupes $D(V; W^{d+e}; \xi)$ et $D(V; W_1^e; \xi_1)$, sous-groupes entre lesquels γ_1 induit clairement un difféomorphisme. \square

B. Voisinages retractiles et isotopies de contact

Dans cette partie, $(V; \cdot)$ désigne toujours une variété de contact de dimension 3, compacte et à bord convexe. On se donne en outre dans $(V; \cdot)$ une surface F , proprement plongée et convexe, et on note $\mathcal{C}(F)$ la multi-courbe associée à un voisinage homotopique quelconque. Compte tenu des remarques générales de la partie A, on étudie maintenant l'espace $\mathcal{P}(F; V; \cdot)$ des plongements adaptés à F . Cette étude s'inspire du travail de V. Colin [Co] sur les plongements des sphères. La clé de la démonstration des théorèmes principaux est ainsi le résultat suivant :

Proposition 10. Soit $\mathcal{C} \in \mathcal{P}(F; V; \cdot)$, soit C la composante connexe de \mathcal{C} dans $\mathcal{P}(F; V)$ et soit $C(\cdot)$ l'intersection de C avec $\mathcal{P}(F; V; \cdot)$. Pour que $C(\cdot)$ soit connexe, il suffit qu'il connecte à tout plongement $\phi \in C(\cdot)$ qui a les propriétés suivantes :

- { $\phi^{-1}(F) \setminus F = \partial F$;
- { $\phi^{-1}(F) \cap F$ borde dans V un domaine homotopiquement orphelin au produit $F \times D^1$.

Grâce à cette proposition, la connaissance des structures de contact sur le produit $F \times [0; 1]$ permet, dans certains cas, de prouver que $C(\cdot)$ est connexe. À titre d'exemple, on reproduit l'argument donné dans [Co] pour traiter le cas des sphères. On rappelle qu'une variété de contact $(V; \cdot)$ est dite tendue si aucun disque plonge dans V n'est tangent à \cdot en tous les points de son bord.

Corollaire 11 (V. Colin). Si la variété de contact $(V; \cdot)$ est tendue et si la surface F est une sphère, l'espace $\mathcal{C}(F)$ est connexe.

Démonstration. Soit \cdot une structure de contact sur $W = S^2 \times [0; 1]$. Si $(W; \cdot)$ est tendue et à bord convexe, un théorème de Y. Eliashberg [El] (voir aussi [Gi2, lemme 2.17]) assure que \cdot est isotopie, relativement au bord, à une structure de contact pour laquelle toutes les sphères $S^2 \times \text{pt}$ sont convexes. Joint à la proposition 10, ce fait entraîne immédiatement le corollaire. \square

La démonstration de la proposition 10 repose sur la notion de voisinages retractiles.

Définition 12. Soit F_0 une surface compacte proprement plongée dans $(V; \cdot)$. On dira qu'un voisinage U_0 de F_0 est retractile si, pour tout voisinage U de F_0 , il existe une isotopie de contact $\phi_s : V \rightarrow V$, $s \in [0; 1]$, ayant les propriétés suivantes :

- { $\phi_0 = \text{id}$;
- { $\phi_s|_{F_0} = \text{id}$ pour tout $s \in [0; 1]$;
- { $\phi_1(U_0) \subset U$.

L'exemple typique de voisinages retractiles est le suivant :

Lemme 13. Soit $U_0 = F_0 \times [0; 1]$ un voisinage de $F_0 = F_0 \times \{0\}$. Si les surfaces $F_t = F_0 \times \{t\}$, $t \in [0; 1]$, sont toutes convexes, U_0 est un voisinage retractile de F_0 .

Démonstration. On fabrique, pour $\epsilon > 0$ donné, une isotopie de contact qui retracte U_0 dans $F_0 \times [0; \epsilon]$. Pour tout $t \in [0; \epsilon]$, comme F_t est convexe, il existe un champ de vecteurs de contact X_t transversal à F_t et tangent à ∂V . Quitte à changer X_t en son opposé, on suppose que X_t pointe vers F_0 le long de F_t . On se donne en outre un voisinage J_t de t dans $[0; 1]$ tel que chaque champ X_t reste transversal à $F_{t'}$ pour tout $t' \in J_t$. On extrait ensuite de la famille J_t un recouvrement fini $J_i = J_{t_i}$ de $[0; \epsilon]$ et on prend une partition de l'unité f_i subordonnée à ce recouvrement. Le champ de vecteurs $X = \sum f_i X_{t_i}$ ne préserve pas \cdot mais, d'après la formule (1), il dérive d'un champ de vecteurs de contact par un champ de Legendre Y nul près de F_0 et tangent aux surfaces F_t ainsi qu'à ∂V . Il suffit alors d'intégrer le champ $X + Y$ pendant un temps assez long pour obtenir l'isotopie de contact voulue. \square

On démontre maintenant la proposition 10. L'ingrédient essentiel est le lemme ci-dessous qu'on admet provisoirement :

Lemme 14. Tout chemin dans $P(F;V)$ qui relie deux points de $P(F;V)$ est homotope, relativement à ses extrémités, à un chemin de plongements dont les images ont chacune un voisinage retractile.

Démonstration de la proposition 10. Soit $\gamma, s \in [0;1]$, un chemin dans C qui relie un point $\gamma_0 \in C$ à $\gamma_1 = \gamma$. On construit ci-dessous un chemin γ_s dans C qui joint $\gamma_0 = \gamma_0$ à un plongement γ_1^0 dont l'image est disjointe de celle de γ_1 et borde avec celle-ci un produit.

Pour tout $s \in [0;1]$, on pose $F_s = \gamma_s(F)$. Grâce au lemme 14, il est possible de trouver des points $s_0 = 0 < s_1 < \dots < s_k = 1$ tels que, pour $0 \leq i < k-1$, les surfaces $F_s, s \in [s_i; s_{i+1}]$ soient toutes incluses dans un voisinage retractile U_i de F_{s_i} . Comme F_0 est convexe, on prend en fait pour U_0 un voisinage produit $F_0 \times [1;1]$ dans lequel toutes les surfaces $F_0 \times \text{pt}$ sont convexes. Si F est close, on pose

$$F_s^0 = F_0 \times_{s_1}^{\circ} U_0 \text{ pour } s \in [0; s_1].$$

Si F a un bord, on se donne une fonction $f: F \rightarrow [0;1]$ qui vaut 0 sur ∂F et 1 hors du ϵ -voisinage de ∂F ; pour ϵ assez petit, les graphes des fonctions $rf, r \in [1;1]$, sont convexes et couvrent la réunion des surfaces $F_s, s \in [0; s_1]$. On pose alors

$$F_s^0 = \{p; \frac{s}{s_1} f(p) \mid p \in F\} \times_{s_1}^{\circ} U_0 \text{ pour } s \in [0; s_1].$$

Comme les surfaces F_s^0 sont convexes, il est possible de les paramétrer par des plongements $\gamma_s^0 \in C$.

Maintenant, par hypothèse, F_{s_1} est contenue dans U_0 et U_1 est un voisinage retractile de F_{s_1} . Il existe donc une isotopie de contact $\gamma_r^1, r \in [0;1]$, qui retracte U_1 dans U_0 . Quitte à changer le paramétrage en r , on suppose que γ_r^1 , pour tout $r \in [0;1]$, envoie $F_{(1-r)s_1 + rs_2}$ dans U_0 . On pose alors

$$F_s^0 = \gamma_r^1 \circ F_{s_1}^0 \text{ pour } s \in [s_1; s_2],$$

ou $r = \frac{s - s_1}{s_2 - s_1}$:

Par construction, chaque surface F_s^0 est disjointe de F_s et borde avec elle un produit. De plus, F_s^0 est convexe et se laisse donc paramétrer par un plongement $\gamma_s^0 \in C$. On continue en observant que F_{s_2} est incluse dans $U^1 = (\gamma_1^1)^{-1}(U_0)$. On retracte U_2 dans U^1 par une isotopie de contact γ_r^2 qui, pour tout $r \in [0;1]$, envoie $F_{(1-r)s_2 + rs_3}$ dans U^1 . On définit alors F_s^0 par une formule du même type que ci-dessus et on obtient le chemin γ_s^0 tout entier en répétant k fois l'opération. \square

Démonstration du lemme 14. Soit $\gamma, s \in [0;1]$, un chemin dans $P(F;V)$. On peut trouver des points $s_0 = 0 < s_1 < \dots < s_k = 1$ tels que, pour $0 \leq i < k-1$, les surfaces $F_s, s \in [s_i; s_{i+1}]$, soient toutes contenues dans un domaine produit $U_i \times F \times [1;1]$ plonge dans V . On note alors F^i une des deux copies de F qui forment ∂U_i . Maintenant, pour $s \in [s_i; s_{i+1}]$, on remplace l'isotopie γ_s par une isotopie γ_s^0 dont les images, pour $s \in (s_i + s_{i+1})/2$ (resp. $s \in (s_i + s_{i+1})/2$), balayent le produit que bordent $\gamma_{s_i}(F)$ et F^i (resp. F^i et $\gamma_{s_{i+1}}(F)$). Grâce à cette astuce empruntée à V. Colin [Co] et au lemme 13, il suffit d'établir le résultat suivant :

Lemme 15. Soit γ une structure de contact sur $W = F \times [1;1]$. Si le bord de $(W; \gamma)$ est convexe, il existe une isotopie relative au bord $\gamma_s: W \rightarrow W, s \in [0;1]$, telle que toutes les surfaces $\gamma_s(F \times \text{pt})$ soient convexes, sauf un nombre fini qui portent un feuilletage caractéristique ayant les propriétés suivantes :

- { les singularités et les orbites fermées sont toutes non dégénérées (c'est-à-dire hyperboliques) ;

²A strictement parler, il faut considérer ici des produits pincés $U_i \times F \times [1;1]$, ou le terme [Ha2] et la notation désignent le quotient de $F \times [1;1]$ par la relation qui écrase sur un point chaque segment $F \times [1;1], p \in \partial F$. On laisse au lecteur le soin de faire les quelques ajustements nécessaires.

- { l'ensemble limite de chaque demi-orbite est une singularite ou une orbite fermee ;
- { une orbite et une seule va d'une selle negative vers une selle positive.

La demonstration de ce lemme repose sur les techniques de [G2] et passe par une construction explicite d'isotopies :

Lemme 16. On considere sur \mathbb{R}^3 la structure de contact d'equation $dz + x dy = 0$ et on se donne trois nombres $a; b; c \in]0; 1[$. Il existe une fonction $f : \mathbb{R}^3 \rightarrow \mathbb{R}$, a support dans $[[-a; 1+a] \times]b; b[\times]c; c[$, ayant les proprietes suivantes :

- { $f(x; 0; z) = 0$ pour tout $x; z \in \mathbb{R}$;
- { les transformations $\phi_s : \mathbb{R}^3 \rightarrow \mathbb{R}^3, s \in]0; 1[$, definiées par

$$\phi_s(x; y; z) = (x; y; z + sf(x; y; z))$$

forment une isotopie ;

- { pour tout s et tout z , le feuilletage caracteristique de $\phi_s(\mathbb{R}^2 - fzg)$ n'a aucune singularite hors de l'axe $fy = 0g$, en a au plus deux sur cet axe et exactement deux si $s = 1$ et $z = 0$.

Demonstration. On pose $f(x; y; z) = u(x)v(y)w(z)$ ou u, v et w sont des fonctions qui remplissent les conditions ci-dessous et sont nulles pres du bord de leurs domaines respectifs :

- { $u : [-a; 1+a] \rightarrow]0; 2[$ a un graphe qui, vu dans \mathbb{R}^2 , rencontre la diagonale en deux points et est strictement croissant-et-concave entre eux ;
- { $v :]b; b[\rightarrow]c=4; c=4[$ s'annule en 0 avec derivee 1 mais est non nulle et a une derivee strictement inferieure a 1 en tout autre point a l'interieur de son support ;
- { $w :]c; c[\rightarrow]0; 1[$ vaut 1 pres de 0 et sa derivee est partout bornee par $2=c$ en valeur absolue.

Le feuilletage caracteristique de la surface $\phi_s(\mathbb{R}^2 - fzg)$ est alors engendre, a la source, par le champ de vecteurs

$$X = su(x)v^0(y)w(z) \partial_x + su^0(x)v(y)w(z) \partial_y$$

et on verifie sans peine que les proprietes souhaitees sont satisfaites. □

Demonstration du lemme 15. Le lemme 2.10 et la remarque 2.11 de [G2] permettent de supposer que les valeurs de t pour lesquelles F_t n'est pas convexe constituent un compact denombrable $\subset]1; 1[$ et que, pour tout $t \in \mathbb{R}$, le feuilletage caracteristique F_t a les proprietes suivantes :

- 1) les singularites de F_t sont toutes non degenerées ;
- 2) chaque demi-orbite de F_t a pour ensemble limite une singularite ou une orbite fermee ;
- 3) F_t a exactement une orbite "exceptionnelle" qui ou bien va d'une selle negative a une selle positive ou bien se referme avec une holonomie tangente a l'identite mais dont la derivee seconde est non nulle ;
- 4) F_t est partagee en deux sous-surfaces planaires F_t^+ et F_t^- (non necessairement connexes) et, le long du bord commun, F_t^- sort de F_t^+ pour entrer dans F_t^- .

Dans ces conditions, les points $t_0 \in \mathbb{R}$ pour lesquels F_{t_0} a une orbite fermee degenerate forment un ensemble fini. En effet, vu la propriete 4), cette orbite fermee C_{t_0} est entierement contenue dans $F_{t_0}^+$ ou dans $F_{t_0}^-$ et separe ladite region. Par suite, aucune orbite de F_{t_0} partant de C_{t_0} ne revient vers C_{t_0} . Compte tenu des proprietes 1) et 2), si un feuilletage F_t presente alors une orbite fermee degenerate pour t voisin de t_0 , celle-ci reste dans un voisinage de C_{t_0} . Or le lemme 2.12 de [G2] exclut cette eventualite pour $t \notin t_0$.

Soit maintenant t_0 un point de \mathbb{R} et soit A_{t_0} un voisinage de C_{t_0} dans lequel F_{t_0} est non singulier, transversal au bord et sans autre orbite fermee que C_{t_0} . On se donne un nombre $\epsilon > 0$ tel que tout feuilletage $F_t, t \in [t_0 - \epsilon; t_0 + \epsilon]$, satisfasse aux conditions suivantes :

- 5) F_t est transversale à A_{t_0} et à ∂F_{t_0} (on identifie ici F_t à F_{t_0} via la projection sur F);
 6) les singularités de F_t sont toutes non dégénérées de même que les orbites fermées situées hors de A_{t_0} .

Soit p et p_+ deux points de C_{t_0} . Sur un voisinage U de p , on peut trouver des coordonnées $(x; y; z) \in [1+a; 1+a] \times [b; b] \times [c; c]$ (ou a, b et c sont des réels positifs petits) dans lesquelles :

- 7) la 1-forme $(dz - x dy)$ de nit et coorientée sur U ;
 8) le paramètre t est une fonction croissante de la seule coordonnée z (et du signe) qui vaut t_0 pour $z = 0$;
 9) l'holonomie du feuilletage caractéristique F_{t_0} entre les segments $T_- = f^{-1} \circ \gamma \circ [b; b] \circ f_0 \circ \gamma \circ U$ et $T_+ = f_1 \circ \gamma \circ [b; b] \circ f_0 \circ \gamma \circ U_+$ respecte la coordonnée y .

On prend alors pour $s, s_2 \in [0; 1]$, une isotopie à support dans $U_+ \cup U$ et de la forme

$$s(x; y; z) = x; y; z - sf(x; y; z); \quad (x; y; z) \in U;$$

ou f est une fonction fournie par le lemme 16. Par construction, le feuilletage caractéristique $\mathcal{F}_1(F_{t_0})$ ne possède plus d'orbite fermée dans $\mathcal{F}_1(A_{t_0})$ mais présente une orbite qui va d'une selle négative à une selle positive. La propriété 9) et la symétrie de l'isotopie s permettent en outre de contrôler entièrement le type topologique de ce feuilletage. Le lemme 2.12 de [Gi2] décrit alors les feuilletages $\mathcal{F}_1(F_t)$ pour t voisin de t_0 et assure notamment que la modification effectuée n'introduit aucune orbite fermée dégénérée pour $t \in [t_0 - \epsilon; t_0 + \epsilon]$. \square

C. Démonstration des théorèmes

Les théorèmes 1, 3 et 4 ont pour souche commune le résultat suivant, dû à Y. Eliashberg [E1] :

Théorème 17 (Y. Eliashberg). Pour toute structure de contact tendue sur la boule D^3 , le groupe $D(D^3; \partial D^3; \cdot)$ est connexe (et même contractile).

Démonstration. D'après le théorème 2.4.2 de [E1], l'espace $SCT(D^3; \cdot)$ des structures de contact tendues sur D^3 qui coïncident avec le long du bord est contractile. D'autre part, le groupe $D(D^3; \partial D^3)$ agit sur $SCT(D^3; \cdot)$ et la méthode de J. Moser montre que cette action, restreinte au point, de nit une bration

$$D(D^3; \partial D^3) \curvearrowright SCT(D^3; \cdot)$$

dont la fibre n'est autre que $D(D^3; \partial D^3; \cdot)$. Le fait que ce groupe soit connexe (resp. contractile) découle alors du théorème de J. Cerf [Ce] (resp. du théorème de A. Hatcher [Hal]) qui affirme que $D(D^3; \partial D^3)$ est connexe (resp. contractile). \square

On désigne désormais par S une surface compacte, connexe et orientable, par $\gamma : V \rightarrow S$ le nombre des éléments de contact coorientés sur S et par $\gamma = \gamma_S$ la structure de contact canonique sur V .

Démonstration du théorème 1 : cas du groupe $D(V; \partial V; \cdot)$

On suppose d'abord que S est le disque unité D^2 de \mathbb{R}^2 et on assimile V au tore plein $D^2 \times \mathbb{R} = \mathbb{R}^2 \times \mathbb{Z}$ en repérant chaque droite tangente à S en un point $(x_1; x_2)$ par l'angle de sa normale directe avec l'axe des x_1 . La structure de contact a alors pour équation de Pfaff

$$\cos dx_1 + \sin dx_2 = 0; \quad (x_1; x_2) \in \mathbb{R}^2 \times \mathbb{Z} :$$

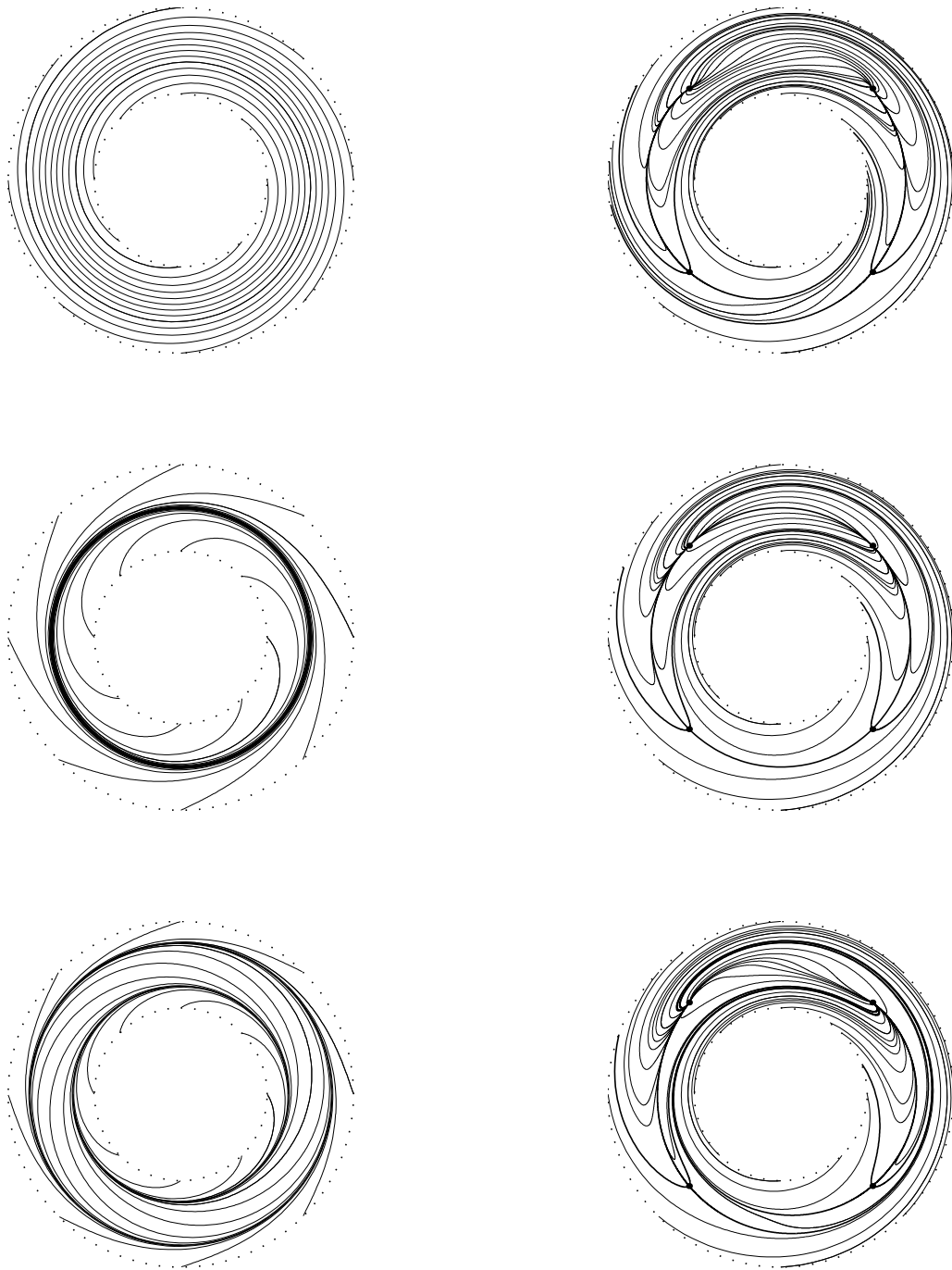


Fig. 2: La partie gauche montre le feuilletage caractéristique de F_t dans l'anneau A_{t_0} pour $t < t_0$ (en haut), $t = t_0$ (au centre) et $t > t_0$ (en bas). La partie droite a che en regard le feuilletage de F_t . Une bifurcation organisée autour d'une connexion de selles rem place la naissance de deux orbites ferm ees.

Le groupe $D(S; @S)$ est connexe (contractile d'après [Sm]) et il faut donc montrer qu'il en est de même du groupe $D(V; @V;)$. Pour cela, on note $D \subset V$ le disque méridien $f = 0g$ et on considère laibration

$$D(V; @V;) \rightarrow P(D; V;):$$

La fibre s'identifie au groupe $D(D^3; @D^3;)$ qui est connexe d'après le théorème 17. Par suite, il suffit de voir que l'espace $P(D; V;)$ est connexe. Malheureusement, D n'est pas convexe : le bord de V ne porte aucune courbe légendrienne isotopée à $@D$. On recourt donc à la proposition 8 ; le bord de V est en fait convexe et son feuilletage caractéristique est scindé par la bicourbe

$$= (\cos' ; \sin' ;) \in D^2 \quad R=2 \quad Z \quad j \sin (\quad) = 1 :$$

Pour plus de commodité, on change les variables $x_1; x_2$ en

$$\begin{aligned} x &= \cos x_1 + \sin x_2; \\ y &= \sin x_1 + \cos x_2; \end{aligned}$$

On pose ensuite

$$\begin{aligned} \omega_0 &= dx_1 - y dx_2 = \cos dx_1 + \sin dx_2; \\ \omega_1 &= (1 - y^2) dx_1 + xy dy - y dx_2; \\ \text{et } \omega_s &= (1 - s) \omega_0 + s \omega_1; \quad s \in [0; 1]: \end{aligned}$$

Les structures de contact $\omega_s = \ker \omega_s$ forment alors un chemin dans $SC(V;)$ issu de $\omega_0 = \omega$. Elles sont ainsi toutes tendues. De plus, le disque D est convexe dans $(V; \omega_1)$ et son feuilletage caractéristique (figure 3) est scindé par la courbe $f = 0g \subset D$. Il reste à prouver que $P(D; V; \omega_1)$ est connexe. Compte tenu du lemme 7, de la proposition 10 et de la connexité de $P(D; V)$ [Wa], il suffit de montrer que, si un plongement $\omega \in P(D; V;)$ a une image disjointe de D sauf au bord $\{D \cap (\partial D)\}$ bord alors automatiquement une "boule pincée" ω , il est isotopée à l'inclusion parmi les plongements adaptés à ω . Cela découle de la classification des structures de contact tendues sur la boule $[E, 1]$: toute structure de contact tendue sur $D^2 \times [0; 1]$ pour laquelle les deux disques $D^2 \times \{0\}$ et $D^2 \times \{1\}$ sont convexes est isotopée, relativement au bord, à une structure de contact pour laquelle tous les disques $D^2 \times \{t\}$, $t \in [0; 1]$, sont convexes.

Avant de démontrer le théorème 1 pour les autres surfaces, on fait deux observations générales.

Lemme 18. Soit $C \subset S$ une courbe simple, fermée ou propre. L'image inverse $F = \omega^{-1}(C) \subset V$ est une surface convexe.

Dans la suite, on note $\omega|_F$ la multi-courbe associée à un voisinage homogène quelconque de F . La courbe $\omega|_F$ a deux composantes connexes et chacune d'elles se projette homéomorphiquement sur C .

Démonstration. Il existe sur S un champ de vecteurs \bar{X} transversal à C dont le flot plonge $C \times \mathbb{R}$ dans S en envoyant $@C \times \mathbb{R}$ dans $@S$. Ce champ \bar{X} , comme tout champ de vecteurs sur S , se relève en un champ de vecteurs X sur V qui préserve ω . L'image de $F \times \mathbb{R}$ par le flot de X est un voisinage homogène de F . □

Lemme 19. Soit $C \subset S$ une courbe simple essentielle, fermée ou propre, soit $F = \omega^{-1}(C)$ et soit $\omega|_F \in P(F; V;)$. Si (F) est isotopée à F , comme surface lisse et relativement au bord, la courbe $\omega|_F$ est isotopée à $\omega|_F$ relativement au bord. De plus, si $\omega|_F$ est isotopée à l'inclusion dans $P(F; V)$, il l'est aussi dans $P(F; V;)$.

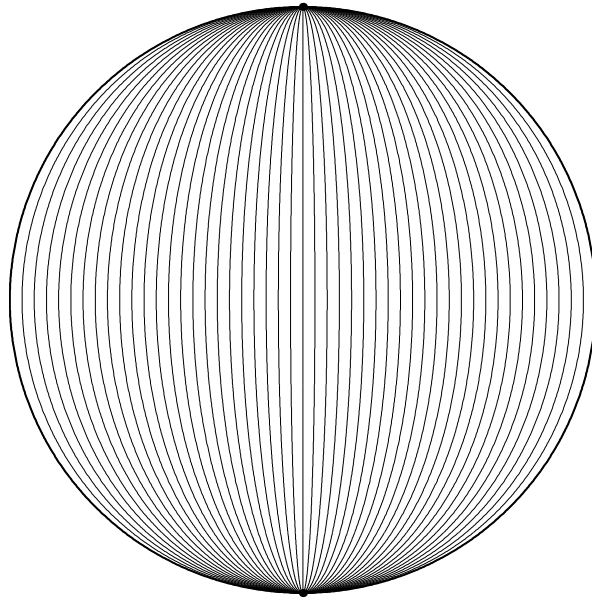


Fig. 3: Feuilletage caracteristique du disque meridien D dans $(V; \gamma)$.

Demonstration. Soit \mathcal{S} le revêtement de S associe a la courbe C et \mathcal{C} un revêtement compact de C dans \mathcal{S} ; si C est un arc, \mathcal{S} est le revêtement universel de S . Par naturalite, le nombre $e : \mathcal{V} \rightarrow \mathcal{S}$ des elements de contact au-dessus de \mathcal{S} n'est autre que le rappel du nombre $e : V \rightarrow S$ au-dessus de \mathcal{S} . On note \mathcal{C}^e la structure de contact canonique de \mathcal{V}^e et on pose $\mathbb{F}^e = e^{-1}(\mathcal{C}^e)$.

Toute isotopie $F_s, s \in [0;1]$, entre $F_0 = F$ et $F_1 = \mathbb{F}^e$ se releve en une isotopie \mathbb{F}_s entre $\mathbb{F}_0 = \mathbb{F}^e$ et une surface \mathbb{F}_1 qui est convexe dans $(\mathcal{V}^e; \mathcal{C}^e)$. De plus, on peut trouver dans \mathcal{S} un domaine produit

$$R = \mathcal{C} \times \mathbb{R} \quad \mathcal{C}^e = \mathcal{C} \times [0;1]; \quad \text{avec } \partial R = \partial \mathcal{C} \times R \cup \mathcal{C} \times \mathbb{R};$$

qui renferme toutes les projections des surfaces $\mathbb{F}_s, s \in [0;1]$. Le domaine $U = e^{-1}(R)$ est un voisinage homogene de \mathbb{F}^e qui contient \mathbb{F}_1 . L'inegalite de Bennequin semi-locale [Gi3, proposition 4.10] montre alors que les courbes qui scindent \mathcal{C}^e_1 sont isotopes a celles qui scindent \mathcal{C}^e . Par suite, (\mathcal{C}^e) est isotope a \mathcal{C}^e .

On suppose maintenant que \mathcal{C}^e est isotope a l'inclusion dans $P(F;V)$. Pour voir qu'il l'est aussi dans $P(F;V; \gamma)$, il suffit, d'après la proposition 10, de regarder le cas ou $\mathcal{C}^e(F)$ est disjoint de F (sauf au bord) et borde avec F un produit pince $W \times F \times [0;1]$. Dans ce cas, les arguments ci-dessus montrent que $(W; \gamma)$ se plonge dans le voisinage homogene $(U; \mathcal{C}^e)$. Il resulte alors de la classification des structures de contact sur le tore epais (si C est une courbe fermee) et sur le tore plein (si C est un arc) que la structure de contact induite par \mathcal{C}^e sur $F \times [0;1] \times W$ est isotope, relativement au bord, a une structure de contact pour laquelle toutes les surfaces $F \times \{t\}, t \in [0;1]$, sont convexes. \square

On reprend maintenant la demonstration du theoreme 1 et on suppose que la surface S n'est ni une sphere, ni un tore. On procede par recurrence sur l'entier $n(S) = 2 - \chi(S) - \beta(S)$ ou $\beta(S)$ est la caracteristique d'Euler de S et $\beta(S)$ le nombre de composantes connexes de ∂S . On prend dans S une courbe simple non separante C , fermee ou propre, et on note S^0 la surface obtenue en decoupant S le long de C ; ainsi, $n(S^0) < n(S)$.

Soit $\phi \in D(V; @V;)$. Un theorem de F.W alkhause [W a] assure que ϕ est isotope, dans $D(V; @V)$, a un diffeomorphisme ψ . On note $\bar{\psi}$ le diffeomorphisme de S sur lequel ψ se projette et on pose $\bar{\phi} = D(\bar{\psi})^{-1} \circ \phi$. En vertu des lemmes 18, 19 et 7, $\bar{\phi}$ est isotope, dans $D(V; @V;)$ a une transformation de contact $\bar{\phi}^0$ qui induit l'inclusion sur la surface $F = \bar{\phi}^{-1}(C)$. En outre, la variete de contact $(V^0; \bar{\phi}^0)$ obtenue en decoupant $(V;)$ le long de F s'identifie a la variete des elements de contact au-dessus de S^0 . L'hypothese de recurrence permet de conclure.

Demonstration du theorem 1 : cas du groupe $D(V;)$

Chaque diffeomorphisme $\psi \in D(V;)$ preserve le feuilletage caracteristique de $@V$, donc les fibres de la projection $@V \rightarrow @S$ qui sont legendriennes. Comme toute isotopie de $@V$ qui laisse invariant le feuilletage caracteristique s'etend en une isotopie de contact, on peut deformer ψ dans $D(V;)$ en une transformation qui coincide, sur $@V$, avec la differentielle d'un diffeomorphisme de S . On applique alors le resultat sur $D(V; @V;)$ pour conclure.

Demonstration du theorem 1 : cas du groupe $D(IntV;)$

Soit $\psi \in D(IntV;)$. Les resultats de F.W alkhause [W a] joints a l'inegalite de Bennequin semi-locale [B3] assurent, comme dans le lemme 19, que ψ est isotope dans $D(IntV)$ a la differentielle d'un diffeomorphisme de S . Quitte a composer avec l'inverse de celle-ci, on suppose que ψ est isotope a l'identite dans $D(IntV)$. On choisit dans S un voisinage collier du bord

$$R = @S \times [0; 1] \cup @S \times \{0\}$$

et on pose $U = \psi^{-1}(R)$. Le champ de vecteurs $\xi_t, t \in R$, donne sur R par la structure produit se releve en un champ de vecteurs de contact qui fait de U un voisinage collier homogene de $@V$. Pour $t_0 > 0$ assez petit, l'image par ψ du multi-tore

$$F = @V \times [t_0; 1] \cup U = @V \times [0; 1] \cup$$

est contenue dans U et les memes arguments que dans la demonstration du lemme 19 et de la proposition 8 montrent que ψ est isotope, dans $D(IntV;)$, a une transformation de contact $\bar{\psi}^0$ qui coincide avec l'identite sur un voisinage de F . On choisit alors sur S un champ de vecteurs \bar{X} ayant les proprietes suivantes :

- { $\bar{X} = 0$ hors de $@S \times [0; t_0 + \epsilon] \cup R$ ou $\epsilon > 0$ est pris assez petit pour que $\bar{\psi}^0$ induise l'identite sur $@V \times [t_0; t_0 + \epsilon]$;
- { $\bar{X} = f(t)\xi_t$ sur $@S \times [0; t_0 + \epsilon]$ ou f est une fonction strictement negative sur l'interieur de $[t_0; t_0 + \epsilon]$ et nulle au bord.

On note X le champ de vecteurs de contact sur V qui releve \bar{X} et $\psi_s, s \in R$, le flot de X . Les transformations de contact

$$\psi_s = \psi_s \circ \bar{\psi}^0 \circ \psi_s; \quad s \in [0; 1];$$

constituent un chemin dans $D(IntV;)$ qui relie $\psi_0 = \bar{\psi}^0$ a un diffeomorphisme egal a l'identite pres du bord. On applique alors le resultat sur $D(V; @V;)$ pour conclure.

Démonstration du théorème 3

Soit C une courbe fermée simple sur $S = S^2$, soit F le tore convexe $\mathbb{R}^1(C) \times (V; \cdot)$ et soit Σ une multicourbe qui scinde F . Le tore F partage $V \times SO_3$ en deux tores pleins W et chaque composante connexe de Σ rencontre homotopiquement une fois le méridien de W . Soit maintenant $\Sigma \subset D(V; \cdot)$. D'après le théorème de J. Cerf [Ce], Σ est isotope à l'identité dans $D(V)$. Pour voir qu'il l'est aussi dans $D(V; \cdot)$, il suffit, vu le théorème 1, de montrer que Σ_F est isotope à l'inclusion dans $P(F; V; \cdot)$. Compte tenu de la proposition 10, on peut supposer que $\Sigma(F)$ est disjoint de F et borde avec F un produit $W \times F \times [0; 1]$. Il découle alors de la classification des structures de contact sur le tore épais [Gi2] que $\Sigma(F)$ est isotope à F parmi les tores convexes.

Démonstration du théorème 4

Le fait que l'image du morphisme

$$\pi_0 D(T^3; \cdot) \rightarrow \text{Hom}(\pi_1, \text{SL}_3(\mathbb{Z}))$$

soit exactement le groupe $\text{Hom}(\pi_1, \text{SL}_3(\mathbb{Z}))$ est démontré dans [EP]. L'injectivité du morphisme résulte du lemme 19 comme le théorème 1.

Références

- [Ar] V. Arnold, Topological invariants of plane curves and caustics. Univ. Lectures Series 5, Amer. Math. Soc. 1994.
- [Ce] J. Cerf, Sur les difféomorphismes de la sphère de dimension trois ($\pi_4 = 0$). Lecture Notes in Math. 53, Springer 1968.
- [Co] V. Colin, Chirurgies d'indice un et isotopies de sphères dans les variétés de contact tendues. C.R. Acad. Sci. Paris Ser. IM ath. 324 (1997), 659{663.
- [El] Y. Eliashberg, Contact 3-manifolds, twenty years since J. Martinet's work. Ann. Inst. Fourier 42 (1992), 165{192.
- [EP] Y. Eliashberg et L. Polterovich, New applications of Luttinger's surgery. Comment. Math. Helv. 69 (1994), 512{522.
- [Gi1] E. Giroux, Convexité en topologie de contact. Comment. Math. Helv. 66 (1991), 637{677.
- [Gi2] E. Giroux, Structures de contact en dimension trois et bifurcations des feuilletages de surfaces. Invent. Math. 141 (2000), 615{689.
- [Gi3] E. Giroux, Structures de contact sur les variétés brées en cercles au-dessus d'une surface. À paraître dans Comment. Math. Helv. (prepublication 1999, math.GT/9911235).
- [Ha1] A. Hatcher, A proof of a Smale conjecture, $\text{Diff}(S^3) \cong O(4)$. Ann. of Math. 117 (1983), 553{607.
- [Ha2] A. Hatcher, Spaces of incompressible surfaces. Prepublication 1999, math.GT/9909074.
- [Ho] K. Honda, Gluing tight contact structures. Prepublication 2000, www.math.uga.edu/~honda.
- [Po] L. Polterovich, An obstruction to conservation of volume in contact dynamics. Prepublication 2000, math.GT/0009227.
- [Sm] S. Smale, Difféomorphismes of the 2-sphere. Proc. Amer. Math. Soc. 10 (1959), 621{626.
- [Wa] F. Waldhausen, On irreducible 3-manifolds which are sufficiently large. Ann. of Math. 87 (1968), 56{88.

Emmanuel Giroux
Unité de Mathématiques Pures et Appliquées
École Normale Supérieure de Lyon
46, allée d'Italie
69364 Lyon cedex 07, France